

طراحی روشی برای تولید کلید رمزنگاری تصادفی بیومتریکی بر اساس اثر انگشت

بهرام رشیدی

چکیده

در این مقاله ما از ویژگی سیگنال‌های بیومتریکی اثر انگشت برای تولید کلیدهای رمزنگاری تصادفی استفاده می‌کنیم. مهم‌ترین ویژگی این روش استفاده از ویژگی‌های منحصر به فرد اثر انگشت در تولید کلید تصادفی می‌باشد. حریم خصوصی کلید بیومتریکی تولید شده به صورت تصادفی و پیچیدگی الگوریتم تولید کلید، جنبه‌های اصلی حاکم بر امنیت کلید است. در روش پیشنهادی ابتدا ویژگی‌های منحصر به فرد اثر انگشت که شامل نقاط مینوشیا می‌باشد از تصویر اثر انگشت استخراج می‌شوند. سپس برای افزایش ویژگی‌های آماری و پیچیدگی، فاصله اقلیدوسی تمام نقاط مینوشیا نسبت به یکدیگر حساب شده و در یک ماتریس ذخیره می‌شوند. در مرحله بعد داده‌های این ماتریس بعد از نرمالیزه شدن به اعداد ۸-بیتی توسط عملیات جایگشت جابجا می‌شوند. سپس برای افزایش سطح امنیت و قابلیت تصادفی بودن از عمل غیر خطی S-box ۸-بیتی استفاده شده در رمز قالبی AES استفاده شده است. بدین صورت که داده‌های ۸-بیتی هر یک جداگانه به S-box اعمال می‌شوند و نتیجه ذخیره می‌شود. در نهایت داده‌های بدست آمده از بایت کم ارزش تا بایت پر ارزش در دسته‌های ۱۲۸-بیتی یا ۱۹۲-بیتی یا ۲۵۶-بیتی می‌توانند به عنوان کلید در سیستم‌های رمزنگاری مورد استفاده قرار گیرند. آنالیزهای آماری که روی کلیدهای تولید شده صورت گرفته نشان دهنده ویژگی تصادفی بودن قابل قبول کلیدها می‌باشد. بنابراین ساختار پیشنهادی برای تولید کلید تصادفی می‌تواند در رمزنگاری سیگنال‌های دیجیتال با حجم زیادی از داده مانند تصویر و صدا استفاده شود.

کلیدواژه‌ها

اثر انگشت، کلید رمزنگاری تصادفی، سیستم رمزنگاری قالبی، مولد تولید کلید.

مقارن برای سیستم کلید مقارن و کلید خصوصی برای سیستم کلید نامقارن یک چالش مهم است. امنیت الگوریتم رمزنگاری بر اساس عملکرد آماری کلیدهای تصادفی آن است. تولید یک کلید تصادفی با کیفیت بالا کاری دشواری است که سطح امنیت ارائه شده توسط الگوریتم رمزنگاری را افزایش می‌دهد. برای بهبود امنیت یک سیستم رمزنگاری، کلیدهای مورد استفاده در رمزنگاری باید تصادفی باشد و به اندازه کافی به لحاظ تعداد بیت طولانی باشند که قابل شکستن نباشد. بسیاری از تکنیک‌های رمزگذاری مانند رمزهای قالبی سبک [۱]-[۲] برای محافظت از داده‌ها در سیگنال‌های دیجیتال و کاهش هزینه‌های مصرف سخت افزار ارائه شده است. همچنین، نحوه انجام رمزگذاری تصویر [۳]-[۷]

۱ مقدمه

امروزه سیستم‌های رمزنگاری نقش مهمی در ایمن‌سازی اطلاعات در هنگام انتقال یا ذخیره سازی دارند. کلیدهای رمزنگاری هسته اصلی این سیستم‌ها هستند. محرمانه بودن این کلیدها باید بسیار مد نظر قرار بگیرد. اما تولید و ذخیره امن کلید

این مقاله در آبان‌ماه ۱۴۰۰ دریافت، در دی‌ماه بازنگری و در بهمن‌ماه پذیرفته شد.

^۱دانشگاه آیت الله العظمی بروجردی (ره)، دانشکده فنی و مهندسی، گروه مهندسی برق

رایانامه: b.rashidi@abru.ac.ir

تصادفی ۲۵۶ بیت بر اساس صدای انسان پیشنهاد شده است. در [۲۱] کلیدهای امن رمزنگاری شده براساس توابع درهم تولید می شوند. چندین رویکرد تولید کلید رمزنگاری از ویژگی های بیومتریک اثر انگشت را می توان در کارهای [۲۳]-[۳۲] یافت. در [۲۴] رویکردی را برای تولید کلید رمزنگاری از الگوی اثر انگشت قابل لغو^۲ برای هر دو طرف ارتباط پیشنهاد شده است. در [۲۵] از ویژگی های آماری مبتنی بر اثر انگشت برای تولید کلمه کد^۳ یک کاربر استفاده می شود. برای تولید یک کلمه کد، از کدینگ-Reed Solomon (RS) استفاده می شود. سپس از این کلمه کد برای تولید یک کلید استفاده می شود. در [۳۱] یک رویکرد تولید کلید بر اساس اثر انگشت با استفاده از فواصل نسبی بین جزئیات اثر انگشت کاربر برای ایجاد یک کلید بیومتریک منحصر به فرد استفاده شده است. علاوه بر این، از یک تکنیک تصحیح خطای دو لایه برای افزایش قابلیت اطمینان سیستم در طول انتقال داده استفاده می شود. در [۳۲] یک روش برای تولید کلید رمزنگاری بر اساس ویژگی های اثر انگشت و الگوریتم آستانه^۴ پیشنهاد می کند. سیستم های رمزنگاری مانند رمزگذاری سیگنال تصویر و رمزگذاری سیگنال صوت برای انجام نقل و انتقال اطلاعات به یک واحد تولید کننده کلید تصادفی نیاز دارند [۲۳] و [۲۴]. با استفاده از تولید کلید تصادفی می توان امنیت الگوریتم های رمزنگاری را بهبود بخشید. این مقاله الگوریتم تولید کلید تصادفی را بر اساس ویژگی های منحصر به فرد اثر انگشت پیشنهاد می کند. حریم خصوصی کلید بیومتریک تولید شده به صورت تصادفی و پیچیدگی الگوریتم تولید کلید، جنبه های اصلی حاکم بر امنیت کلید است. در این الگوریتم، ما ساختار جدید پیشنهادی را برای تولید کلید تصادفی بر اساس ویژگی های منحصر به فرد اثر انگشت و بلوک های سازنده ای از قبیل واحد محاسبه فاصله اقلیدوسی نقاط مینوشیا و نرمالیزاسیون، واحد جایگشت و واحد اعمال بلوک S-box مورد استفاده در رمز AES [39] به داده ها ارائه می دهیم. این ساختار می تواند کلید هایی با طول های مختلف ایجاد کند. طول کلیدهای تولید شده برابر با ۱۹۶، ۱۲۸، ۲۵۶ بیت است. برای افزایش ویژگی های آماری و پیچیدگی فاصله اقلیدوسی تمام نقاط مینوشیا نسبت به یکدیگر حساب شده و در یک ماتریس ذخیره می شود. داده های این ماتریس بعد از نرمالیزه شدن به اعداد ۸-بیتی توسط عملیات جایگشت جابجا می شوند. سپس برای افزایش سطح امنیت و قابلیت تصادفی بودن از عمل غیر خطی S-box ۸-بیتی استفاده شده در رمز قالبی AES استفاده شده است. بدین صورت که داده های ۸-بیتی هر یک جداگانه به S-box اعمال می شوند و نتیجه ذخیره می شود. آنالیزهای آماری که روی کلیدهای تولید شده صورت گرفته نشان دهنده ویژگی تصادفی بودن قابل قبول کلیدها می باشد.

و رمزگذاری صوت [۸]-[۱۱] به موضوعات لازم و ضروری تبدیل شده اند. تولید کلیدهای تصادفی در این سیستم ها یک عمل مهم است.

سه دسته اصلی برای تولید کلید تصادفی وجود دارد که شامل ۱- تولید کلید مبتنی بر تئوری آشوب: در این روش از معادلات ریاضی مانند نقشه Cat و نقشه Baker برای ایجاد آشفتگی^۱ استفاده می شود. سیستم های آشوب ویژگی های مشابهی از حساسیت به شرایط اولیه و پارامترهای کنترل و رفتار شبه-تصادفی را فراهم می کند، که نیازهای آشفتگی و پخش^۲ در رمزنگاری را برآورده می کند. ۲- تولید کلید رمزنگاری مبتنی بر بیومتریک: روشی است که از اطلاعات بیومتریک برای تولید کلیدهای رمزنگاری برای محافظت از امنیت داده ها استفاده می کند. سیستم های رمزنگاری بیومتریک (زیستی) یک زمینه تحقیقاتی در حوضه رمزنگاری است که در آن از بیومتریکیکفرد برای ایمن سازی تولید این کلیدهای رمزنگاری استفاده می شود. ۳- تولید کلید بر اساس مولدهای اعداد تصادفی: در این روش از مولد اعداد شبه-تصادفی و شیفت رجیستر بازخوردی خطی (LFSR) برای تولید کلیدهای تصادفی استفاده می شود.

تکنیک های زیادی برای تولید کلید رمزنگاری [۶] و [۱۲]-[38] پیشنهاد شده اند. به عنوان مثال، در [۶] یک سیستم آشوب ۴ بعدی با استفاده از سیگنال زمان گسسته سیستم بی نظم برای تولید کلید ارائه شده است. در [۱۲] نویسندگان کلیدهای بیومتریک را از بردارهای ویژگی بیومتریک عنبیه تولید می کنند. در [۱۳] مکانیسم بازسازی کلید فازی برای استخراج یک الگوی محافظت شده استفاده شده است. سپس، خطای تصحیح کد (ECC) برای تولید کلیدهای تصادفی استفاده می شود. در [۱۴] ساختاری برای استخراج داده های الکتروانسفالوگرافی انسان (EEG) به عنوان بیومتریک برای تولید کلید پیشنهاد شده است. این ساختار پتانسیل بالایی را فراهم می کند زیرا جعل و تقلب در EEG غیرممکن است. در [۱۵] نویسندگان با انجام آزمایشی با استفاده از نمونه های سیگنال صوت برای تولید کلید الگوهای بیومتریک تصادفی را استفاده می کنند. در [۱۶] سیستم تولید کلید از داده های بیومتریک عنبیه استفاده می کند. در [۱۷] ساختار تولید کلید با عبور سیگنال صوتی در چندین مرحله بر اساس تئوری گراف تحقق می یابد. در [۱۸] روشی برای تولید یک کلید رمزنگاری برای رمزگذاری داده ها با استفاده از خصوصیات چهره انسان ارائه شده است. نویسندگان از این کلید برای رمزگذاری پیام های صوتی و پنهان کردن آنها در داخل تصاویر رنگی استفاده کرده اند. در [۱۹] تولید یک کلید ساده مخفی با استفاده از ترکیبی از روش پیش پردازش با کمی سازی چند سطح برای امنیت لایه فیزیکی ارائه شده است. در [۲۰] روشی برای تولید کلیدهای

^۲ Cancelable fingerprint template

^۴ Codeword

^۵ Threshold

^۱ confusion

^۲ diffusion



شکل ۱: نقاط مهم مینوشیا در یک اثر انگشت.

۲.۱. مرحله پیش پردازش

مرحله پیش پردازش برای بهبود تصویر و برجسته کردن ویژگی بیومتریکی اثر انگشت انجام می شود. به عبارت دیگر بهبود تصویر اثر انگشت برای حذف نویز ناشی از حسگر و تغییرات ناشی از فشار انگشت روی سنسور صورت می پذیرد. ویژگی های بیومتریکی اثر انگشت باید تقویت شوند تا بتوان از آنها برای تجزیه و تحلیل بیشتر استفاده کرد. این فرآیند با حذف پیکسل های اضافی از تصویر و رسیدن به روشنایی و کنتراست بهتر انجام می شود. چند مرحله مهم پیش پردازش روی تصویر اثر انگشت مانند افزایش کنتراست، باینریزه کردن^۱ و نازک سازی^۲ انجام می شود. افزایش کنتراست کیفیت اثر انگشت را با کاهش اثرات نامطلوب تاری، منافذ و برجستگی های اولیه بهبود می بخشد. این امر به بهبود تشخیص نقاط مینوشیا کمک می کند. در بین روش هایی که تا کنون برای افزایش کیفیت اثر انگشت ارائه شده است سه روش وجود دارد که اساس کار در روش های دیگر می باشند. این سه روش عبارتند از: یکنواخت سازی هیستوگرام (این روش ساده ترین روش افزایش کیفیت اثر انگشت می باشد که استفاده می شد اما برای تصاویری با کیفیت کم کارایی خود را از دست می دهد)، تبدیل فوری سریع و فیلتر گابور.

در کار [40] برای افزایش کیفیت تصویر از روش تبدیل فوری استفاده می شود. شکل ۲ (a) و (b) به ترتیب تصویر یک اثر انگشت (این تصویر از پایگاه داده [41] استفاده شده است.) و تصویر بهبود داده شده توسط روش تبدیل فوری را نشان می دهد. همانطور که در تصویر دیده می شود اعمال تبدیل فوری باعث شده است تا نقاط شکسته در رگه ها به هم متصل شوند و اتصالات اشتباه بین رگه ها از بین رود.

در ادامه مقاله در بخش دوم به طور خلاصه روند استخراج ویژگی های اثر انگشت توضیح داده شده است. روش تولید کلید تصادفی پیشنهادی در بخش سوم ارائه شده است. بخش چهارم نتایج و بحث در مورد روش پیشنهادی را نشان می دهد. سرانجام، مقاله در بخش پنجم جمع بندی می شود.

۲ استخراج ویژگی های اثر انگشت

هر اثر انگشت یکی از پرکاربردترین شکل شناسایی بیومتریکی است که بیش از یک قرن است که مورد استفاده قرار می گیرد. اثر انگشت هر انسان منحصر به فرد است و در طول زندگی فرد بدون تغییر باقی می ماند. اثر انگشت از الگوی برآمدگی های روی انگشت شکل می گیرد. برای هر اثر انگشت یک فرد ویژگی های منحصر به فردی مانند: ۱- هر اثر انگشت برای افراد منحصر به فرد است، یعنی هیچ دو انگشتی دارای ویژگی های برآمدگی یکسان نیستند. ۲- بسیار قابل اعتماد هستند زیرا هیچ دو نفر اثر انگشت مشابهی ندارند. حتی دوقلوهای همسان که DNA مشابهی دارند، اثر انگشت متفاوتی دارند. ۳- اثر انگشت از نظر ساختاری در طول زندگی فرد بدون تغییر باقی می ماند. ۴- یکی از دقیق ترین اشکال بیومتریکی موجود است. ۵- به دست آوردن اثر انگشت راحت است و از این رو گزینه خوبی برای سیستم های امنیتی است.

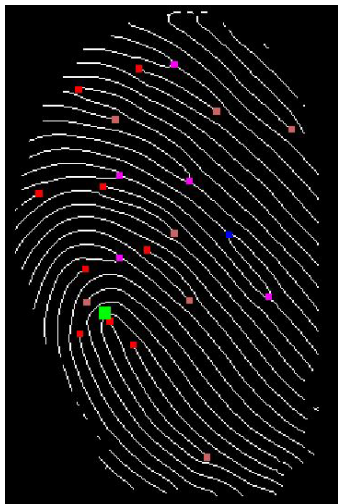
به رگه هایی که به صورت موازی در اثر انگشت وجود دارند، کهدر مواردی خاتمه می یابند و گاهی اوقات دو شاخه می شوند مینوشیا گفته می شود. شکل ۱ نمونه ای از نقاط مهم مینوشیا یک اثر انگشت را نشان می دهد. در این مثال، پیکسل های سفید با برجستگی ها و پیکسل های سیاه مربوط به دره ها هستند. از بین انواع مینوشیا دو نوع مینوشیای انتهایی و مینوشیای دو شاخه ای بیشتر کاربرد دارد. در مرحله استخراج ویژگی های اثر انگشت مختصات این نقاط بدست می آید. در این مقاله ما از روش ارائه شده در کار [40] برای بهبود تصویر و استخراج نقاط مینوشیا استفاده می شود. قبل از استخراج نقاط مینوشیا نیاز می باشد که بر حسب نیاز بهبودها و پیش پردازش هایی بر روی تصویر اثر انگشت صورت پذیرد. در ادامه به طور خلاصه این پیش پردازش ها توضیح داده شده اند.

¹ Binarization

² Thinning

• باینریزه کردن تصویر

برای شناسایی الگوی پیکسلی محلی که در آن برآمدگی (نقاط با مقدار ۱) به پایان می رسد یا شکاف میابد، تجزیه و تحلیل و شناسایی می شود. در مرحله بعد، تمام نقاط مینوشیا نادرست مانند (مینوشیا های جانبی، نقاط شناسایی شده در مناطق با کیفیت پایین، جزایر، دریاچه ها و غیره) حذف می شوند.



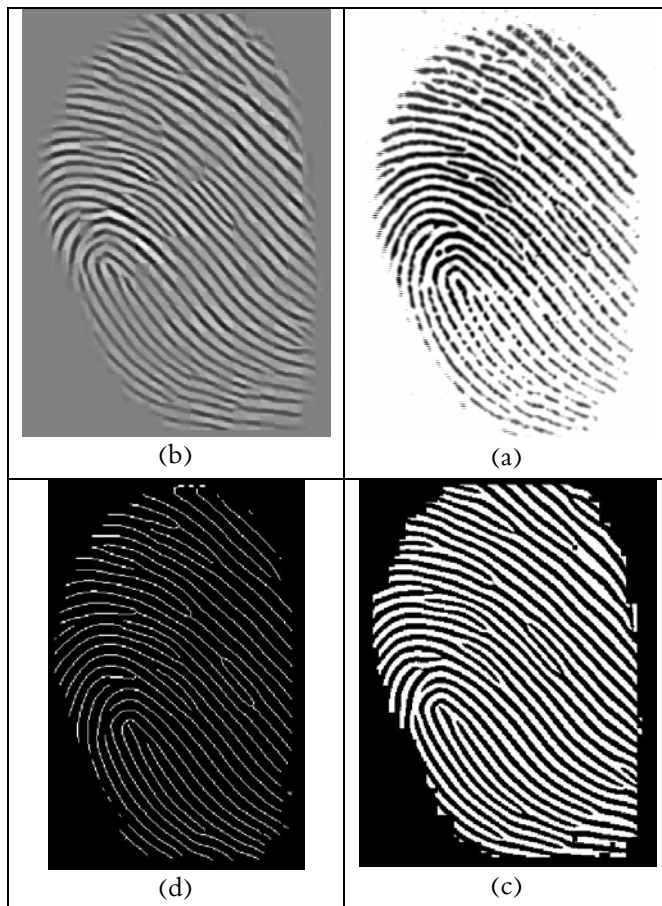
شکل ۳: تصویر نقاط مینوشیا تشخیص داده شده از تصویر اثر انگشت شکل ۲ (a).

• نازک سازی

در فرایند نازک سازی (اسکلت سازی) تمام خطوط موجود در تصویر باینریزه شده به ضخامت یک پیکسل متراکم می شوند. نازک شدن عرض خطوط برآمدگی باینری شده را به ۱ پیکسل کاهش می دهد. فرآیندهای باینریزه کردن و نازک سازی برای مکان یابی نقاط مینوشیا مورد نیاز هستند. شکل ۲ (d) تصویر نازک سازی شده اثر انگشت را نشان می دهد.

۳. روش پیشنهادی تولید کلید رمزنگاری بیومتریک از اثر انگشت

در این مقاله، تلاش شده است تا یک کلید رمزنگاری مستقیماً از ویژگی های منحصر به فرد استخراج شده اثر انگشت فرد تولید شود. در این رویکرد، اثر انگشت به عنوان یک پارامتر بیومتریک برای تولید کلید رمزنگاری استفاده می شود. در این روش ما از مختصات نقاط مینوشیا ها برای تولید کلید استفاده می کنیم. نمای کلی از مراحل روش پیشنهادی به صورت شماتیک در شکل ۴ نشان داده شده است. بعد از استخراج نقاط مینوشیا مختصات این نقاط بدست می آید. مولفه x و y نقاط مختصات بترتیب در ماتریس های ذخیره می شوند. در مرحله بعد به محاسبه فاصله اقلیدوسی نقاط مینوشیا نسبت به یکدیگر و نرمال سازی مقدار فاصله برای ایجاد اعداد ۸ بیتی پرداخته می شوند و نتایج در یک ماتریس ذخیره می شود. بعد از این مرحله به ماتریس حاصل عمل جایگشت اعمال می شود. در مرحله بعد برای افزایش تصادفی شدن اعداد هر مقدار ۸-بیتی در ماتریس بعد از جایگشت به جعبه جابجای S-box ۸-بیتی استفاده شده در رمز قالبی AES [39] اعمال می شوند. در مرحله بعد بایت های کلیدها را می توان از مقادیر ماتریس بدست آمده در مرحله قبل بدست آورد. در روش پیشنهادی با انجام مراحل محاسبه فاصله اقلیدوسی بین نقاط مینوشیا، عمل جایگشت و عمل S-box میزان تصادفی بودن کلید را افزایش می یابد.



شکل ۲: (a): تصویر اصلی، (b): تصویر بعد از تبدیل فوریه سریع، (c): تصویر بعد از باینری سازی و (d): تصویر بعد از نازک سازی.

نقاط مینوشیا در شکل ۳ برای تصویر اثر انگشت ارائه شده در شکل ۲ (a) نشان داده شده اند. بیشترین نقاط مینوشیا، انتهایی و دوشاخه ای هستند. همانطور که دیده می شود این نقاط انتهایی و دوشاخه ای در شکل شناسایی شده اند. تصویر باینری نازک شده

الگوریتم ۱: تولید کلید تصادفی بر اساس مختصات نقاط مینوشیا $f(x_i, y_i)$ که در آن $1 \leq i \leq D$ تعداد نقاط مینوشیا است.

Input: Input x -coordinate F_x and y -coordinate F_y matrices of the Minutiae.

Output: 128-bit Random Key K_j , $0 \leq j \leq m/16$.

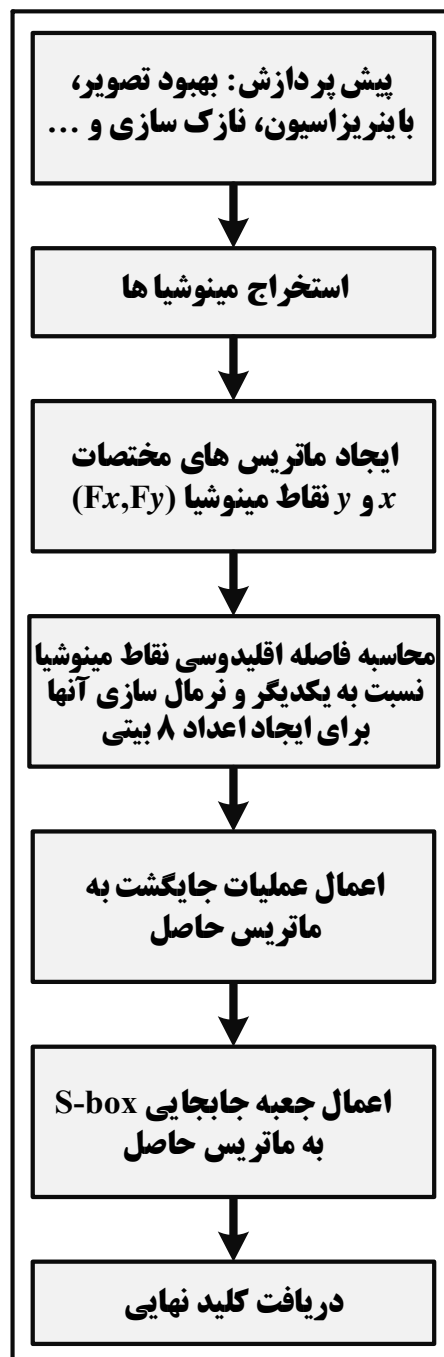
1. $f=2$; $m = (D * (D - 1))/2$; $n=1$;
2. For i from 1 to $m - 1$ do // Step 1.
3. For j from f to m do
4. $D_{p_1}(i) = \sqrt{(F_x(i) - F_x(j))^2 + (F_y(i) - F_y(j))^2}$
5. $n = n + 1$;
6. End For;
7. $f = f + 1$;
8. End For;
9. For i from 1 to m do // Step 2.
10. $D_{p_2}(i) = D_{p_1}(i) \bmod 2^8$;
11. End For;
12. $D_{p_2}(i) = \text{Permutation}(D_{p_2}(i))$ // Step 3.
13. For i from 1 to m do // Step 4.
14. $D_{p_3}(i) = S - \text{box}(D_{p_2}(i))$;
15. End For;
16. For i from 1 to m do // Step 5.
17. $\text{Key}(i) = D_{p_3}(i)$;
18. End For;
19. For j from 1 to $m/16$ do // For 128-bit keys.
- 20.
21. $i = i + 16$;
22. End For;

۳.۱. ماتریس های مختصات نقاط مینوشیا و محاسبه فاصله اقلیدوسی

هر مینوشیا استخراج شده از یک تصویر اثر انگشت به صورت مختصات x و y نشان داده می شود. بعد از استخراج نقاط مینوشیا مختصات x و y این نقاط را برای محاسبات بعدی مورد استفاده قرار می شود. فرض کنید مجموعه نقاط مینوشیا با F نمایش داده شود و $f(x_i, y_i)$ مختصات یک نقطه مینوشیا i باشد. در اینجا مجموعه نقاط مینوشیا را با عبارت زیر نمایش می شود:

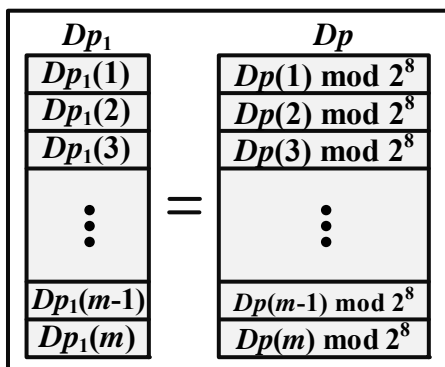
$$F = \{f1(x_1, y_1), f2(x_2, y_2), f3(x_3, y_3), \dots, fm(x_m, y_m)\}$$

در ادامه نقاط مینوشیا استخراج شده را در دو بردار متفاوت F_x, F_y ذخیره می شود. بردار F_x شامل تمام مقادیر مختصات x و بردار F_y حاوی همه مقادیر مختصات y است.



شکل ۴: نمای کلی از مراحل روش پیشنهادی تولید کلید بر اساس اثر انگشت.

الگوریتم ۱ روش پیشنهادی تولید کلید تصادفی را بر اساس مختصات نقاط مینوشیا $f(x_i, y_i)$ که در آن $1 \leq i \leq D$ تعداد نقاط مینوشیا است، نشان می دهد.



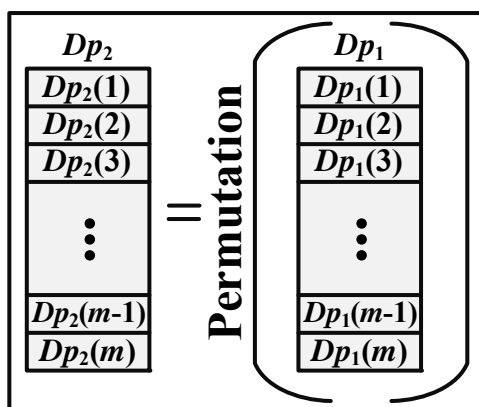
شکل ۶: روند ۸-بیتی کردن اعداد بدست آمده برای ماتریس فاصله اقلیدوسی.

۳.۲. اعمال جایگشت ها

در این مرحله، یک جایگشت برای مقادیر تولید شده (ماتریس Dp_1) در مرحله قبل اعمال می شود. بنابراین، عمل جایگشت با تکرار Pr برای تولید ماتریس Dp_2 ارائه شده است. عمل جایگشت برای ماتریس Dp_2 نمونه i از ماتریس Dp_1 را به موقعیت $Pr(i)$ ماتریس Dp_2 به شرح زیر انتقال می دهد:

$$Pr(i) = \begin{cases} (i+5) \times \frac{m}{9} \bmod m - 1 & \text{if } i \in \{1, 2, \dots, m-1\} \\ m & \text{if } i = m \end{cases}$$

مقدار m برابر با تعداد داده های ماتریس Dp_1 است. شکل ۷ مرحله اعمال جایگشت در روش تولید کلید تصادفی پیشنهادی را نشان می دهد. همانطور که از شکل مشخص است، مقادیر ماتریس Dp_1 بر اساس جایگشت $Pr(i)$ به ترتیب برای تولید ماتریس Dp_2 استفاده می شوند.



شکل ۷: مرحله جایگشت روش تولید کلید تصادفی پیشنهادی.

۳.۳. اعمال جعبه های جایابی S-box

در این مرحله مقادیر ۸-بیتی ماتریس $Dp_2(i)$ ، $1 \leq i \leq m$ به ترتیب به S-box ۸-بیتی مورد استفاده در رمز قالبی استاندارد AES اعمال می شوند و ماتریس جدید $Dp_3(i)$ ، $1 \leq i \leq m$ را ایجاد می کند. هدف از این کار افزایش میزان پیچیدگی داده های

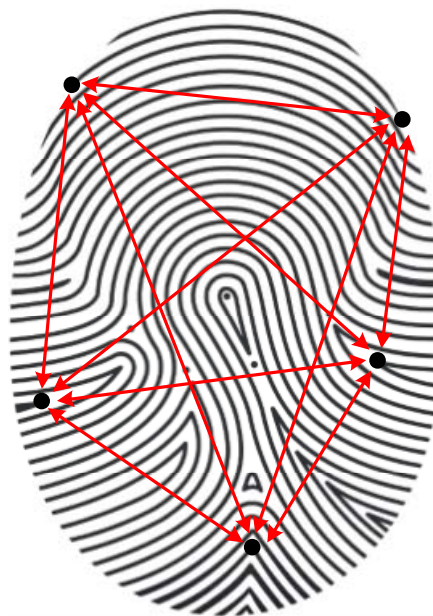
$$F_x = [x_1, x_2, x_3, \dots, x_m]$$

$$F_y = [y_1, y_2, y_3, \dots, y_m]$$

حال فاصله اقلیدوسی بین تک تک نقاط مینوشیا حساب و در یک ماتریس ذخیره می شود. فاصله اقلیدوسی دو نقطه فرضی بر اساس بردارهای F_x, F_y در زیر نشان داده شده است:

$$D_p(i) = \sqrt{(F_x(i) - F_y(i))^2 + (F_y(i) - F_x(i))^2}$$

همان طور که می دانیم تعداد فاصله های اقلیدوسی بین D نقطه مینوشیا نسبت به هم برابر $\binom{D}{2} = \frac{D(D-1)}{2}$ می باشد. شکل ۵ فاصله اقلیدوسی بین چند نقطه مینوشیای فرضی در یک تصویر سمبولیک اثر انگشت را نشان می دهد. در بسیاری از تصاویر اثر انگشت تعداد نقاط مینوشیا محدود می باشد و این امر ممکن است میزان تصادفی بودن و نتایج تحلیل های آماری داده های کلید را دچار ضعف کند. استفاده از فاصله اقلیدوسی بین تمام نقاط نسبت به یکدیگر علاوه بر حفظ ویژگی منحصر به فرد بودن پارامترهای اثر انگشت باعث افزایش تعداد داده های استخراجی از اثر انگشت برای تولید کلید می شود. این امر میزان تصادفی بودن نتایج آماری داده های ماتریس کلید و الگوی بیتی آن را بهبود می دهد. به عنوان مثال اگر یک اثر انگشت ۸۰ نقطه مینوشیا داشته باشد تعداد داده های مربوط به فاصله اقلیدوسی تمام نقاط نسبت به یکدیگر برابر ۳۱۶۰ می باشد که این عدد نسبت به تعداد داده خام مختصات نقاط مینوشیا بسیار بزرگتر می باشد. برای نمایش هر داده در ماتریس فاصله اقلیدوسی Dp در قالب یک عدد ۸-بیتی باقیمانده هر داده نسبت به عدد 2^8 بدست آورده شود. این کار در شکل ۶ نشان داده شده است. مقادیر ۸-بیتی ماتریس Dp در ماتریس جدید Dp_1 ذخیره می شوند.



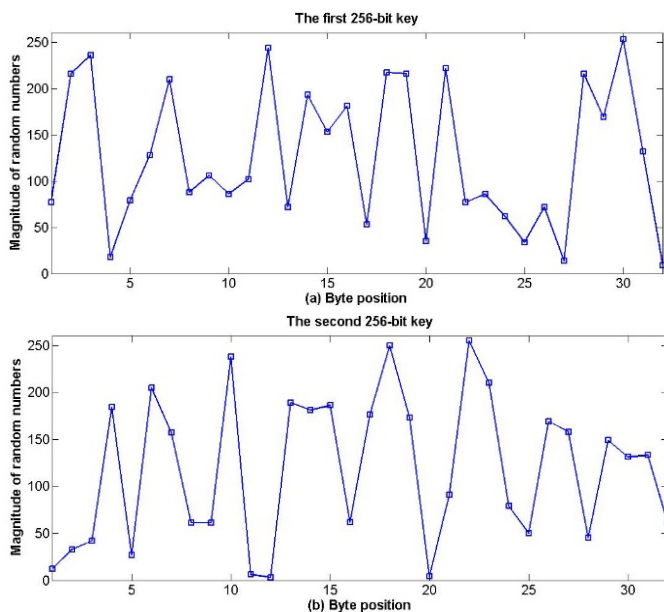
شکل ۵: فاصله اقلیدوسی بین چند نقطه مینوشیای فرضی در یک تصویر سمبولیک.

جدول ۱: انتخاب بایت های کلید $Key(i)$ برای تولید کلیدهای ۱۲۸-بیتی، ۱۹۲-بیتی و ۲۵۶-بیتی.

Keys	128-bit
K_1	$[(Key(16) Key(15) ... Key(1))]$
K_2	$[(Key(32) Key(31) ... Key(17))]$
K_3	$[(Key(48) Key(47) ... Key(33))]$
...	...
K_K	$[Key(m-1) Key(m-2) ... Key(m-16)]$
Keys	192-bit
K_1	$[(Key(24) Key(23) ... Key(1))]$
K_2	$[(Key(48) Key(47) ... Key(25))]$
K_3	$[(Key(72) Key(71) ... Key(49))]$
...	...
K_K	$[Key(m-1) Key(m-2) ... Key(m-24)]$
Keys	256-bit
K_1	$[(Key(32) Key(31) ... Key(1))]$
K_2	$[(Key(64) Key(63) ... Key(33))]$
K_3	$[(Key(96) Key(95) ... Key(65))]$
...	...
K_K	$[Key(m-1) Key(m-2) ... Key(m-32)]$

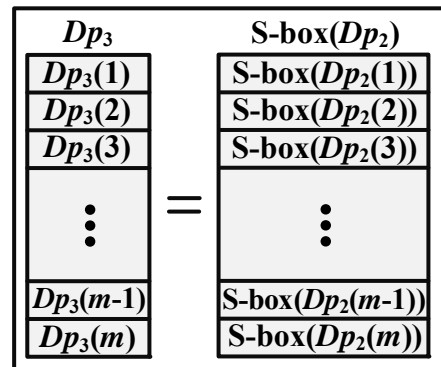
۴. بحث و نتایج

این بخش، تجزیه و تحلیل های مختلفی برای روش تولید کلید تصادفی پیشنهادی با استفاده از اثر انگشت ارائه می شود. در اینجا، از ابزار شبیه سازی Matlab R2013b برای این کار استفاده شده است. پایگاه داده ای که تصاویر اثر انگشت از آن استفاده شده است پایگاه داده شناخته شده FVC2002 DB1_B [41] می باشد. در این پایگاه داده ۸۰ اثر انگشت از ۱۰ نفر (۸ نمونه برای هر فرد) قرار داده شده است. اندازه هر اثر انگشت 374×388 است که با ۵۰۰ نقطه در اینچ (dpi) گرفته شده اند. شکل های ۱۰ (a) و (b) به عنوان مثال به ترتیب، کلیدهای تصادفی اول و دوم ۲۵۶-بیتی بر اساس تصویر اثر انگشت 1.tif را نشان می دهد. همان طور که دیده می شود شکل مقادیر کلید مانند یک سیگنال تصادفی است.



شکل ۱۰: نمودار کلیدهای استخراج شده از روش تولید کلید پیشنهادی اول (a) و دوم (b)، ۲۵۶-بیتی بر اساس تصویر اثر انگشت 1.tif.

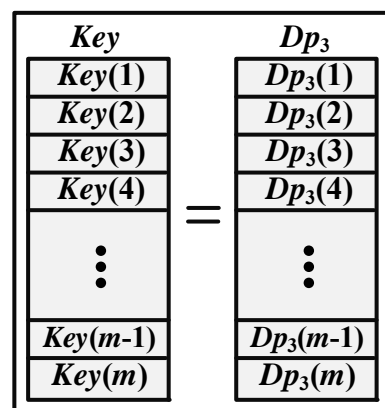
کلید می باشد. این S-box یکی از بهترین S-box های ۸-بیتی موجود می باشد که دارای مشخصه های امنیتی بسیار قابل قبولی می باشد. به همین دلیل در این کار از S-box ۸-بیتی رمز کلید متقارن AES استفاده شده است. ساختار این S-box بر اساس واحد معکوس کردن میدانی در میدان منتهای $GF(2^8)$ می باشد که دارای خصوصیات غیرخطی خوبی است. شکل ۸ مرحله اعمال جعبه جابجایی S-box به ماتریس Dp_2 را نشان می دهد. در این حالت ۸ بیت وارد S-box شده و ۸ بیت بر اساس جدول آن [39] تولید و خارج می شود.



شکل ۸: مرحله اعمال S-box ۸-بیتی به ماتریس Dp_2 .

۳.۴. انتخاب مقادیر کلید

در این مرحله، مقادیر ماتریس Dp_3 برای ایجاد کلید استفاده می شوند. بر حسب اینکه کلید چند بیتی باشد می توان مقادیر مختلفی را انتخاب کرد. به عنوان مثال، برای طول کلید های ۱۲۸-بیتی، ۱۹۲-بیتی و ۲۵۶-بیتی به ترتیب ۱۶، ۲۴ و ۳۲ بایت از ماتریس Dp_2 نیاز می باشد. مقادیر ۸-بیتی برای تولید خروجی های نهایی کلید $Key(i)$ از $1 \leq i \leq m$ از ماتریس Dp_2 در شکل ۹ نشان داده شده است. جدول ۱ انتخاب بایت های کلید $Key(i)$ برای تولید کلیدهای ۱۲۸-بیتی، ۱۹۲-بیتی و ۲۵۶-بیتی را نشان می دهد.



شکل ۹: مرحله اعمال S-box ۸-بیتی به ماتریس Dp_2 .

۴.۱. تحلیل تصادفی

برای بررسی تصادفی بودن توالی مقادیر بیت های کلید تجزیه و تحلیل آماری بر اساس تست های که در کار [38] ارائه شده و بعضی پارامترهای دیگر انجام می گیرد. در ادامه تست های مورد نظر و پارامترهای مهم در این زمینه مورد بررسی بیشتری قرار گرفته است. در اینجا ما ارزیابی های مختلفی برای بررسی پراکندگی داده های ماتریس کلیدهای تولید شده انجام داده ایم. از جمله این ارزیابی ها شامل ۱- تست Similarity ۲- تست Monobit ۳- تست Poker ۴- تست Run ۵- بررسی هیستوگرام ماتریس کلید ۶- بررسی همبستگی خودکار مقادیر کلید تصادفی ۷- چگالی طیف توان مقادیر کلید تصادفی می باشند. انجام اینارزیابیها به بررسی میزان پراکندگی داده های کلید های تولید شده بر اساس اثر انگشت بسیار کمک می کند. یکی از بلوک های که در ایجاد پراکندگی داده های کلید تصادفی کمک می کند استفاده از بلوک S-box است که در اینجا ما از S-box مورد استفاده از رمز استاندارد AES استفاده کرده ایم. این بلوک دارای مشخصات امنیتی قابل قبولی می باشد که در مقاله [43] با مقایسه ای که بین S-box های مختلف انجام داده است S-box رمز AES دارای مشخصات بسیار خوبی مانند پارامتر غیر خطی^۱ ۱۱۲، یکنواختی دیفرانسیل^۲ ۴، معیار دقیق بهمینی^۳ ۰,۵۰۵۸، درجه جبری^۴ ۷، احتمال تقریب دیفرانسیلی^۵ ۰,۰۱۵۶۲۵ و احتمال تقریب خطی^۶ ۰,۰۶۲۵ می باشد. که این پارامترها در بین S-box های مختلف بهترین می باشند. استفاده از S-box می تواند باعث افزایش ویژگی غیر خطی و پراکندگی داده شود که این بلوک در بسیاری از رمزهای قالبی استفاده می شود.

• تست Similarity

یکی از آنالیزهایی که می شود برای بررسی عدم شباهت کلید های تولید شده انجام داد آنالیز بررسی شباهت یا برابری ماتریس کلیدهای مختلف می باشد. این تحلیل در خصوص پراکندگی نمونه های تصادفی تولید شده در فضای کلید برای افراد با اثر انگشت های متفاوت انجام شده است. در این روش برای بررسی پراکندگی داده های کلید، ماتریس کلید های مختلف با هم مقایسه می شوند و میزان شباهت بین آنها بدست می آید. در اینجا ۲۰۰۰ بیت اول هر ماتریس کلید مربوط به هر اثر انگشت به صورت ۴ بیت به ۴ بیت با هم مقایسه می شوند. تعداد مقادیر ۴ بیتی که برای دو ماتریس کلید با هم برابر هستند شمارش می شوند و این تعداد بر تعداد کل مقادیر ۴ بیت تقسیم می شود. در این آنالیز با بررسی ۴ بیت به ۴ بیت مقادیر ماتریس کلیدهای تولید شده میزان عدم شباهت آنها نسبت به هم مورد بررسی قرار می گیرد. بدین

در کارهای [۶]-[۱۱]، [34]-[36] و [38] از تئوری آشوب برای تولید کلید استفاده کرده اند. در [۸] از معادلات ریاضی مانند نقشه Cat و نقشه Zaslavsky برای ایجاد آشفتگی و تولید کلید تصادفی استفاده می شود. در [۱۱] از نگاشت های مختلف بر اساس تئوری آشوب برای تولید کلید استفاده کرده است. در [34] از سیستم های آشوب مرتبه کسری برای تولید کلیدهای رمزگذاری استفاده شده است. در [۳۵] یک مولد کلید رمزنگاری با استفاده از تئوری آشوب بر اساس ایجاد آشوب در یک فیلتر دیجیتال برای رمزگذاری و رمزگشایی داده ها ارائه شده است. در [36] یک نگاشت سینوسی بهبود یافته به عنوان یک مولد کلید ارائه شده است. در [۳۸] نوعی سیستم تولید متوالی کلید بر اساس تئوری آشوب با استفاده از n-ترکیب از نگاشتهای آشوب طراحی شده است که مزایای تئوری آشوب را با رمزنگاری مدرن ترکیب می کند.

همچنین چندین روش تولید کلید رمزنگاری از ویژگی های بیومتریکی اثر انگشت را می توان در کارهای [۲۳]-[۳۲] یافت. به عنوان مثال، در [۲۴] رویکردی را برای تولید کلید رمزنگاری از الگوی اثر انگشت قابل لغو برای هر دو طرف ارتباط پیشنهاد شده است. در [۲۵] از ویژگی های آماری مبتنی بر اثر انگشت برای تولید کلمه کد یک کاربر استفاده می شود. سپس از این کلمه کد برای تولید یک کلید استفاده می شود. در [۳۱] یک رویکرد تولید کلید بر اساس اثر انگشت با استفاده از فواصل نسبی بین جزئیات اثر انگشت کاربر برای ایجاد یک کلید بیومتریکی منحصر به فرد استفاده شده است. علاوه بر این، از یک تکنیک تصحیح خطای دو لایه برای افزایش قابلیت اطمینان سیستم در طول انتقال داده استفاده می شود. در ادامه این بخش ضمن انجام تحلیل تصادفی مقایسه با کاری مرتبط پیشین انجام شده است.

زمان محاسبه کلید رمزنگاری برای کار پیشنهادی و چند کار موجود در جدول ۲ آورده شده است. در این جدول برای مقایسه بهتر سخت افزار مورد استفاده نیز بیان شده است. همان طور که مشاهده می شود زمان لازم برای محاسبه کلید در کار پیشنهادی قابل قبول می باشد.

جدول ۲: مقایسه زمان محاسبه کلید رمزنگاری برای کار پیشنهادی و چند کار موجود.

کار	زمان (میلی ثانیه)	سخت افزار
[۲۴]	۲۹,۸۰۸۵	---
[۲۳]	۱۰,۱۱	Intel® Core TM i5 processor with 2.3 GHz
[42]	۶۰,۰۵۲	Intel® Core TM 2 Duo processor with 2.4 GHz
[34]	14	ARM processor Broadcom SoC BCM2837B0 of 1.4GHz
کار پیشنهادی	۱۶,۴۵	Intel® Core TM i5 processor with 2.3 GHz

¹Nonlinearity

²Differential uniformity

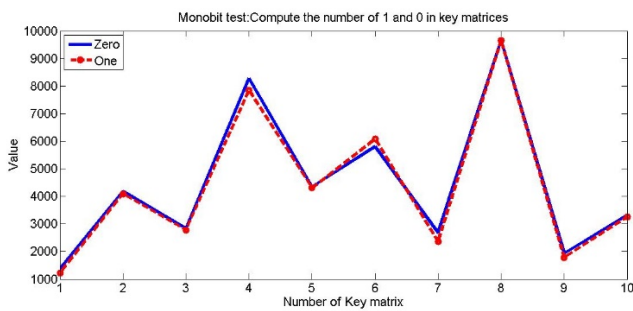
³Strict avalanche criterion

⁴Algebraic degree

⁵Differential approximation probability

⁶Linear approximation probability

باشند، یعنی نزدیک ۵۰ درصد برای هر کدام باشد، نشان می دهد که توزیع بیت های ۱ و ۰ در کل ماتریس یکنواخت می باشد. این امر نشان دهنده تصادفی بودن مقادیر کلید می باشد. در اینجا ما تست را برای ماتریس های کلید تولید شده بر اساس ۱۰ تصویر اثر انگشت 101_1.tif تا 110_1.tif از پایگاه داده اثر انگشت FVC2002 DB1_B مورد بررسی قرار داده ایم. شکل ۱۲ مقادیر تعداد بیت های ۱ و ۰ در ماتریس کلید تولید شده از این ۱۰ تصویر اثر انگشت را نشان می دهد. محور افقی شماره تصویر می باشد که به ترتیب از ۱ تا ۱۰ می باشند و محور عمودی مقدار مربوط به تعداد بیت های ۱ و ۰ می باشد. نمودار آبی رنگ مربوط به تعداد بیت های ۰ است و نمودار قرمز خط چین شده مربوط به تعداد بیت های ۱ می باشد. همان طور که در این شکل دیده می شود نمودارهای مربوط به تعداد بیت های ۱ و ۰ در ماتریس های کلید تولید شده بر همدیگر منطبق بوده و نشان دهنده نزدیک بودن تعداد بیت های ۱ و ۰ در کلید می باشد. بنابراین، کلید تولید شده توسط روش پیشنهادی دارای ویژگی های تعادل تعداد بیت های ۱ و ۰ و امنیت مناسبی است.



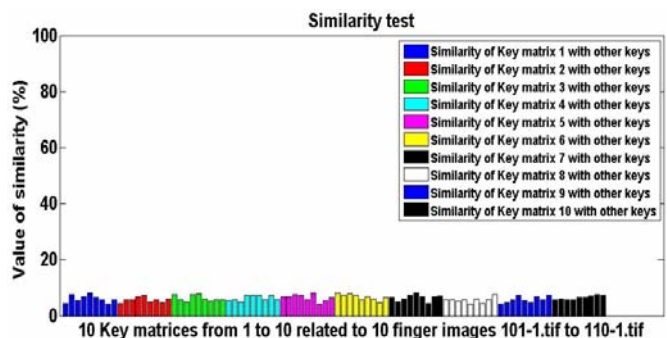
شکل ۱۲: نمودار مقادیر تعداد بیت های ۱ و ۰ در ماتریس کلید تولید شده از ۱۰ تصویر اثر انگشت 101_1.tif تا 110_1.tif از پایگاه داده FVC2002.DB1_B.

برای بدست آوردن معیاری برای مقایسه با کارهای دیگر بر اساس کار [۳۸] نسبت تعداد یک های ماتریس کلید تقسیم بر تعداد کل بیت های کلید را به عنوان معیار Monobit در نظر گرفته می شود. در حالت ایده ال مقدار این معیار باید برابر ۰٫۵ باشد که نشان دهنده برابر بودن تعداد صفر ها و یک های کلید و توزیع یکنواخت آنها می باشد. مقدار بدست آمده برای معیار Monobit در روش پیشنهادی تولید کلید برای ماتریس های کلید مربوط به تصاویر اثر انگشت 101_1.tif تا 110_1.tif از پایگاه داده FVC2002 DB1_B به ترتیب برابر اعداد 0.5056، 0.5059، 0.5292، 0.5131، 0.5022، 0.4886، 0.5309، 0.5007، 0.5196 و 0.5044 می باشند. میانگین این اعداد نیز برابر عدد 0.5100 است. بر اساس این اعداد بدست آمده که همه ی آنها بسیار به عدد 0.5 نزدیک می باشند می توان به این نتیجه رسید که پراکندگی داده های ماتریس های کلید مطلوب می باشد. در جدول ۳ نیز مقدار معیار Monobit برای مقایسه روش پیشنهادی و چند کار مرتبط

صورت ما میزان شباهت دو ماتریس کلید را مورد بررسی قرار می دهیم. همان طور که گفته شد ما از هر ماتریس کلید ۲۰۰۰ بیت اول آنها را با هم مقایسه می کنیم که این ۲۰۰۰ بیت به ۵۰۰ مقدار ۴ بیتی تقسیم می شود. در صد شباهت مقادیر دو ماتریس کلید نسبت به همدیگر به صورت زیر محاسبه می شود:

$$\text{درصد شباهت} = \frac{\text{تعداد مقادیر 4 بیتی برابر هر دو ماتریس}}{\text{تعداد کل مقادیر 4 بیتی}} \times 100$$

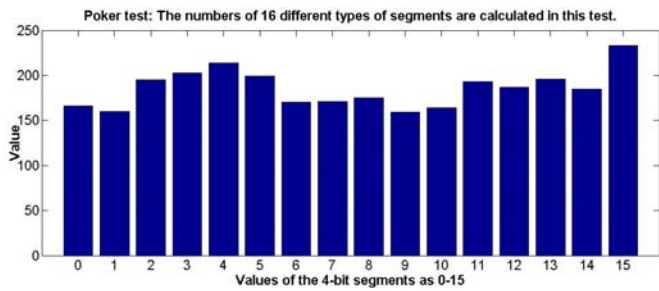
نتیجه مطلوب این است که میزان این پارامتر بسیار کمتر از ۵۰ درصد باشد. این تحلیل بین ۱۰ تصویر اثر انگشت 101_1.tif (تصویر اول)، 102_1.tif (تصویر دوم)، ... و 110_1.tif (تصویر دهم) از پایگاه داده اثر انگشت FVC2002 DB1_B انجام می شود به طوری که ابتدا مقادیر ماتریس کلید تصویر اول (به صورت ۴ بیتی) با مقادیر ماتریس کلیدهای دوم تا دهم مقایسه می شود و میزان شباهت آنها به صورت درصد بدست می آید. همین طور برای تصویر دوم میزان شباهت ماتریس کلید آن با ماتریس های کلید تصاویر اول، سوم، چهار تا دهم بدست می آید. این مقادیر به صورت نمودار ستونی در شکل ۱۱ نشان داده شده است. در این شکل به ترتیب از چپ به راست در صد شباهت ماتریس کلید تصویر اول با دیگر تصاویر تا در صد شباهت ماتریس کلید مربوط به تصویر دهم با دیگر تصاویر نشان داده شده است. همان طور که در این شکل دیده می شود در صد شباهت مقادیر ماتریس کلیدهای مختلف نسبت به یکدیگر کمتر از ۱۰٪ می باشد که درصد قابل قبولی می باشد. این امر میزان پراکندگی و عدم شباهت داده های تولید شده از هر اثر انگشت با اثر انگشت دیگر را نشان می دهد. بنابراین ماتریس های کلید تصادفی تولید شده به اندازه کافی دارای پراکندگی و تفاوت با یکدیگر می باشند.



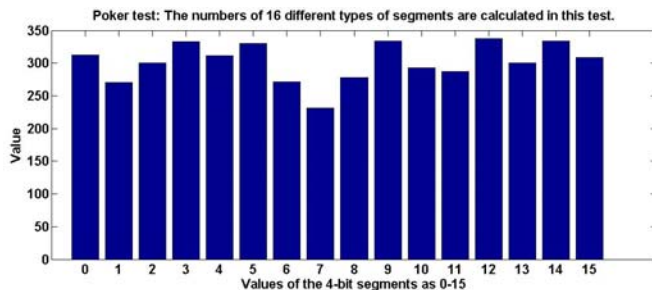
شکل ۱۱: نمودار درصد شباهت ۲۰۰۰ بیت اول هر ماتریس کلید نسبت به دیگر ماتریس های کلید برای ۱۰ تصویر اثر انگشت 101_1.tif تا 110_1.tif از پایگاه داده اثر انگشت FVC2002 DB1_B.

• تست Monobit

در این تست تعداد بیت های ۱ و ۰ در کل مقادیر ماتریس کلید محاسبه می شوند. اگر درصد تعداد بیت های ۱ و ۰ به هم نزدیک



(a)



(b)

شکل ۱۳: نمونه نمودار مربوط به تست Poker برای ماتریس کلید تولید شده از تصویر اثر انگشت (a) 101_1.tif و (b) 108_1.tif.

• تست Run

بیشترین تعداد بیت ۱ یا ۰ به هم پیوسته در دنباله اعداد کلید به عنوان run تعریف می شود [38]. اگر این تعداد بیت ۱ یا ۰ به هم پیوسته منجر به اعداد بسیار بزرگ شود نامطلوب می باشد. این امر نشان دهنده توزیع غیر یکنواخت بیت های ۱ یا ۰ در دنباله اعداد می باشد. در اینجا ما تعداد بیت های صفر به هم پیوسته با طول ۲ تا ۸ می پردازیم. نتایج برای تعداد بیت ۱ به هم پیوسته نیز مشابه بیت های ۰ بدست آمده است. شکل ۱۴ تعداد شمارش بیت های ۰ به هم پیوسته با طول ۲ تا ۸ را برای ۱۰ تصویر اثر انگشت 101_1.tif تا 110_1.tif از پایگاه داده اثر انگشت FVC2002 DB1_B نشان می دهد. هر دسته (رنگ) شامل ۱۰ ستون است که ستون ها از سمت چپ به راست به ترتیب مربوط به تصاویر دیده می شود هر چقدر طول بیت های ۰ به هم پیوسته زیاد می شود اندازه ستون ها بسیار کاهش می یابد. با بررسی رفتار کاهشی تعداد بیت های ۰ به هم پیوسته با افزایش طول بیت ها از ۲ تا ۸ به این نتیجه می رسیم که این تعداد برای طول های بیش از ۱۰ بیت ۰ به هم پیوسته تقریباً به صفر می رسد. این امر نشان دهنده توزیع بسیار مناسب بیت های ۰ در ماتریس کلید می باشد. برای کار [۳۸] تعداد بیت های صفر یا یک به هم پیوسته برای تعداد ۲۵ تا به بالا برابر صفر می شود. بنابراین، در کار [۳۸] تعداد صفرها یا یک های به هم پیوسته نسبت به کلید های تولید شده در روش پیشنهادی بسیار بیشتر می باشد.

دیگر آورده شده است. همان طور که در این جدول مشاهده می شود نتیجه بدست آمده برای روش پیشنهادی در مقایسه با کارهای پیشین قابل قبول می باشد.

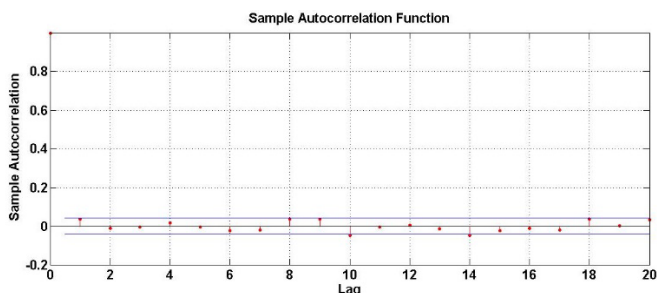
جدول ۳: مقایسه معیار Monobit برای کار پیشنهادی و کارهای مرتبط دیگر.

کار	میانگین معیار Monobit
[۲۵]	0.5193
[۳۸]	0.4993
[36]	0.1159
[۱۹]	0.2888
[۱۹]	0.3767
[۱۹]	0.7236
[۱۹]	0.8596
[37]	۰,۵۲۰۰
کار پیشنهادی	0.5100

• تست Poker

در این تست تمام مقادیر ۸-بیتی کلید تولید شده به دو قسمت ۴-بیتی تقسیم می شود. مثلاً یک عدد ۸-بیتی از دو قسمت ۴-بیت کم ارزش و ۴-بیت پر ارزش تشکیل می شود. بعد از اینکار آمار تعداد کل اعداد ۴-بیتی حساب می شود. همان طور که می دانیم یک عدد ۴-بیتی می تواند بین ۰ تا ۱۵ باشد. لذا ما بعد از محاسبه کردن آمار تعداد اعداد ۴-بیتی در واقع آماری از تعداد اعداد ۰ تا ۱۵ از کل دنباله بدست می آوریم. حال اگر تعداد شمارش شده این اعداد در یک رنج باشد نشان دهنده توزیع یکنواخت داده ها در کل ماتریس تولید کلید می باشد. ما در این تست برای ۱۰ تصویر اثر انگشت 101_1.tif تا 110_1.tif از پایگاه داده اثر انگشت FVC2002 DB1_B این کار را انجام داده ایم و به نتایج قابل قبولی از این تست دست یافته ایم. با توجه به حجم زیاد داده ها در اینجا به عنوان مثال فقط دو نمونه از نتایج مربوط به تصویر اثر انگشت 106_1.tif و 108_1.tif که به ترتیب در شکل ۱۳ (a) و (b) نشان داده اند آورده شده است. محور افقی در این نمودارها نشان دهند اعداد ۰ تا ۱۵ (معادل اعداد ۴-بیتی) و محور عمودی مقدار شمارش هر عدد را نشان می دهد. همان طور که دیده می شود اندازه ستون ها در سطح های نزدیک به هم هستند. در نتیجه تعداد شمارش شده اعداد ۰ تا ۱۵ در کل ماتریس کلید تولید شده با درصد قابل قبولی به یکدیگر نزدیک می باشند.

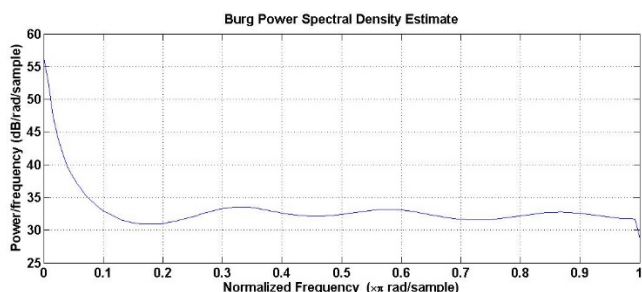
108_1.tif در شکل ۱۶ نشان داده شده است. مقادیر بسیار کمی دارد، همبستگی کمی بین مقادیر و میزان بالایی از تصادفی بودن را نشان می دهد. از آنجا که بیشترین مقدار در همبستگی خودکار برابر با ۰,۰۴۹۰ است، مقادیر کلید تصادفی هیچ شباهت قابل توجهی با خود ندارند، که این امر یک ضرورت اساسی برای قابلیت تصادفی بودن است.



شکل ۱۶: همبستگی خودکار مقادیر کلید تصادفی پیشنهادی برای تصویر 108_1.tif.

۴.۴. چگالی طیفی توان مقادیر کلید تصادفی

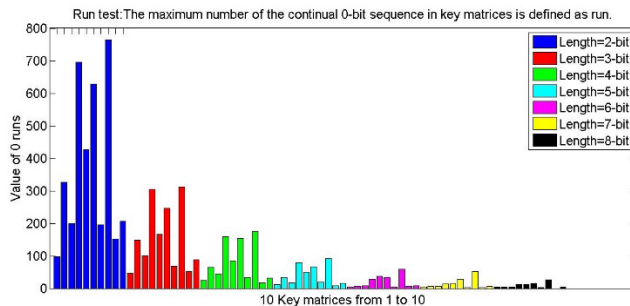
چگالی طیفی توان مقادیر کلید تصادفی برای تصویر 108_1.tif در شکل ۱۷ نشان داده شده است. چگالی طیفی توان، توان تغییرات را به عنوان تابعی از فرکانس نشان می دهد. همانطور که از این شکل دیده می شود، چگالی طیفی توان مقادیر کلید تصادفی تقریباً مسطح هست مشابه مساوی سیگنال های تصادفی. بنابراین، این مسئله تصادفی بودن مقادیر کلید را تأیید می کند.



شکل ۱۷: چگالی طیفی توان مقادیر کلید تصادفی پیشنهادی برای تصویر 108_1.tif.

۵. نتیجه گیری

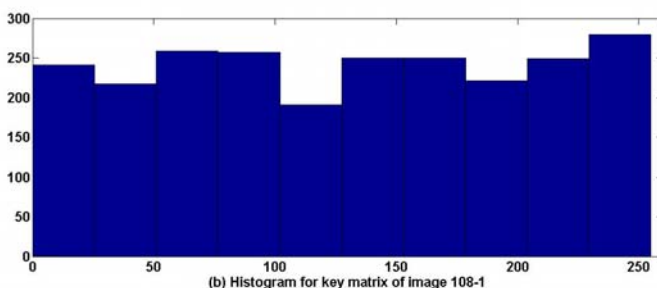
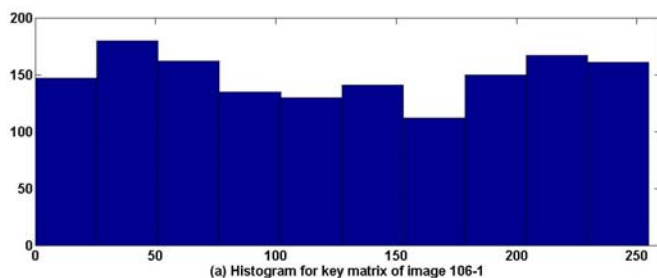
در این مقاله از ویژگی های بیومتریکی اثر انگشت برای تولید کلیدهای رمزنگاری تصادفی استفاده شده است. تولید کلیدهای تصادفی در رمزنگاری حجم زیادی از داده ها مانند رمزگذاری تصویر و صدا امری ضروری است. با استفاده از تولید کلید تصادفی می توان امنیت الگوریتم های رمزنگاری را بهبود بخشید. در روش پیشنهادی ابتدا ویژگی های منحصر به فرد اثر انگشت که شامل نقاط مینوشیا می باشد از تصویر اثر انگشت استخراج می شوند. سپس برای افزایش ویژگی های آماری و پیچیدگی، فاصله اقلیدوسی تمام نقاط مینوشیا نسبت به یکدیگر حساب شده و در



شکل ۱۴: نمودار تعداد شمارش بیت های ۰ به هم پیوسته با طول ۲ تا ۸ بیت برای ۱۰ تصویر اثر انگشت 101_1.tif تا 110_1.tif از پایگاه داده اثر انگشت FVC2002 DB1_B.

۴.۲. هیستوگرام مقادیر کلید تصادفی

هیستوگرام مقادیر ماتریس کلید تصادفی به ترتیب برای دو تصویر اثر انگشت ورودی 101_1.tif و 108_1.tif در شکل های ۱۵(a) و (b) نشان داده شده است. توزیع مقادیر کلید تصادفی در هیستوگرام نشان داده شده است. اگر نمودار به اندازه کافی مسطح نباشد، مقدار قابل توجهی از داده ها می تواند با حمله آماری تهدید شوند. در رمزنگاری، پاسخ مسطح و یکنواخت برای هیستوگرام بسیار مطلوب [44] است. تمام بایت های کلید تصادفی در محدوده ۰ تا ۲۵۵ با مقدار شمارش بسیار زیاد (تعداد وقوع اعداد تصادفی) رخ می دهد. مقدار شمارش برای اعداد تصادفی کلیدهای نزدیک به یکدیگر است. این امر نشان می دهد که هر مقداری در محدوده ۰ تا ۲۵۵ می تواند در تولید مقادیر کلید رخ دهد. بنابراین، هیستوگرام مقادیر تصادفی کلید توزیع یکنواختی دارد.



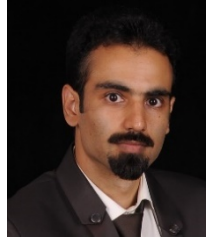
شکل ۱۵: هیستوگرام مقادیر ماتریس کلید تصادفی به ترتیب براید و تصویر اثر انگشت ورودی 101_1.tif(a) و 108_1.tif(b).

۴.۳. همبستگی خودکار مقادیر کلید تصادفی

همبستگی خودکار، همبستگی سیگنال با خودش است. به عنوان مثال، همبستگی خودکار مقادیر کلید تصادفی برای تصویر

- یک ماتریس ذخیره می شوند. در مرحله بعد داده های این ماتریس بعد از نرمالیزه شدن به اعداد ۸-بیتی توسط عملیات جایگشت جابجا می شوند. سپس برای افزایش سطح امنیت و قابلیت تصادفی بودن بیشتر از عمل غیر خطی S-box ۸-بیتی استفاده شده در رمز قالبی AES استفاده شده است. بدین صورت که داده های ۸-بیتی هر یک جداگانه به S-box اعمال می شوند و نتیجه ذخیره می شود. استفاده از این ویژگی ها در تولید کلید تصادفی منجر به آشفتگی (confusion) و پخش (diffusion) می شود. آنالیزهای آماری که روی کلیدهای تولید شده صورت گرفته نشان دهنده ویژگی تصادفی بودن قابل قبول کلیدها می باشد
- ## مراجع
- [1] Sathiyamurthi, P. and Ramakrishnan, S., Speech encryption algorithm using FFT and 3D-Lorenz-logistic chaotic map, *Multimedia Tools and Applications*, 2020, Vol. 79, pp. 17817-17835.
 - [11] Sathiyamurthi, P. and Ramakrishnan, S., Speech encryption using chaotic shift keying for secured speech communication, *EURASIP Journal on Audio, Speech, and Music Processing*, 2017, Vol. 20, pp. 1-11.
 - [12] Rathgeb, C., and Uhl, A., Context-based biometric key generation for Iris, *IET Computer Vision*, 2011, Vol. 5, Iss. 6, pp. 389-397.
 - [13] Kanade, S., Petrovska-Delacretaz, D., and Dorizzi, B., Generating and Sharing Biometrics Based Session Keys for Secure Cryptographic Applications, in *Proc. Fourth IEEE International Conference on Biometrics: Theory, Applications and Systems*, 2010, Washington, DC, USA, pp. 1-7.
 - [14] Nguyen, D., Tran, D., Sharma, D., and Ma, W., On The Study of EEG-based Cryptographic Key Generation, in *Proc. International Conference on Knowledge Based and Intelligent Information and Engineering Systems*, 2017, Marseille, France, pp. 936-945.
 - [15] Carrara, C., and Adams, C., You are the Key: Generating Cryptographic Keys from Voice Biometrics, in *Proc. Eighth Annual International Conference on Privacy, Security and Trust*, 2010, Ottawa, ON, Canada, pp. 213-222.
 - [16] Camara, D.P.B.A., and Rocha, C.D., Providing Higher Entropy Cryptographic Keys by the Use of Biometrics, in *Proc. The 7 th International Telecommunications Symposium*, 2010, Manaus, Amazon, Brazil, pp. 1-5.
 - [17] Abduljaleel, I.Q., Abdul-Ghani, S.A., and Naji, H.Z., An Image of Encryption Algorithm Using Graph Theory and Speech Signal Key Generation, *Journal of Physics: Conference Series*, 2021, Vol. 1804, pp. 1-11.
 - [18] Majjed, I.A., and Majeed, A.M., Key Generation Based on Facial Biometrics, in *Proc. the 1st International Multi-Disciplinary Conference Theme: Sustainable Development and Smart Planning*, 2020, University of Bradford, UK, pp. 1-9.
 - [19] Yuliana, M., Wirawan, and, Suwadi, A Simple Secret Key Generation by Using a Combination of Pre-Processing Method with a Multilevel Quantization, *Entropy*, 2019, Vol. 21, pp. 1-25.
 - [20] Bano, A., Random Key Generator Using Human Voice, in *Proc. International Multimedia, Signal Processing and Communication Technologies*, 2013, Aligarh, India, pp. 41-45.
 - [21] Srinivas J., Mishra D., Mukhopadhyay S., Kumari S., Provably secure biometric based authentication and key agreement protocol for wireless sensor networks, *J Ambient Intell Humaniz Comput*, 2018, Vol. 9, No. 4, pp. 875-895.
 - [1] Sadhukhan, R., Patranabis, S., Ghoshal, A., Mukhopadhyay, D., Saraswat, V. and Ghosh, S., An Evaluation of Lightweight Block Ciphers for Resource-Constrained Applications: Area, Performance, and Security, *Journal of Hardware and Systems Security*, Vol. 1, Iss. 3, 2017, pp. 203-218.
 - [2] Hatzivasilis, G., Fysarakis, K., Papaefstathiou, I. and Manifavas, C., A review of lightweight block ciphers, *Journal of Cryptographic Engineering*, Vol. 11, Iss. 3, 2018, pp. 141-184.
 - [3] N.Noura, H., Chehab, A., Raphael, C. Efficient & secure cipher scheme with dynamic key-dependent mode of operation, *Signal Processing: Image Communication*, 2019, Vol. 78, pp. 448-464.
 - [4] Ismail Abdelfatah, R. Secure Image Transmission Using Chaotic-Enhanced Elliptic Curve Cryptography, *IEEE Access*, 2019, Vol. 8, pp. 3875-3890.
 - [5] Shanthakumari, R. and Malliga, S., Dual layer security of data using LSB inversion image steganography with elliptic curve cryptography encryption algorithm, *Multimedia Tools and Applications*, 2020, Vol. 79, pp. 3975-3991.
 - [6] Yang, C.H., Wu, H.C., and Su, S.F., Implementation of Encryption Algorithm and Wireless Image Transmission System on FPGA, *IEEE Access*, 2019, Vol. 7, pp. 50513-50523.
 - [7] You, L., Yang, E., and Wang, G., A novel parallel image encryption algorithm based on hybrid chaotic maps with OpenCL implementation, *Soft Computing*, Vol. 24, 2020, pp. 12413-12427.
 - [8] Farsana, F.J., Gopakumar, K., A Novel Approach for Speech Encryption: Zaslavsky Map as Pseudo Random Number Generator, *Procedia Computer Science*, 2016, Vol. 93, pp. 816-823.
 - [9] Wang, X., Su, Y., An Audio Encryption Algorithm Based on DNA Coding and Chaotic System, *IEEE Access*, 2020, Vol. 8, pp. 9260-9270.

- mode of operation, *Perspectives in Science*, 2016, Vol. 8, pp. 57–60.
- [34] Montero–Canela, R., Zambrano–Serrano, E., Tamariz–Flores, E.I., Muñoz–Pacheco, J.M., and Torrealba–Melendez, R., Fractional chaos based–cryptosystem for generating encryption keys in Ad Hoc networks, *Ad Hoc Networks*, 2020, Vol. 97, pp. 1–21.
- [35] Pich, R., Chivapreecha, S., Prabnasak, J., A New Key Generator for Data Encryption Using Chaos in Digital Filter, 8th Control and System Graduate Research Colloquium, in Proc. 8th Control and System Graduate Research Colloquium, 2017, Shah Alam, Malaysia, pp. 87–92.
- [36] Ogras, H., Turk, M., A Secure Chaos–based Image Cryptosystem with an Improved Sine Key Generator, *American Journal of Signal Processing*, 2016, Vol. 6, No. 3, pp. 67–76.
- [37] Tuncer, T., Avaroglu, E., Random Number Generation with LFSR Based Stream Cipher Algorithms, 40th International Convention on Information and Communication Technology, Electronics and Microelectronics (MIPRO), 2017, Opatija, Croatia, pp. 171–175.
- [38] Wang, J.J., Chen, J.Y., Yang, X.Y., Research on generating good key sequence based on chaos, *Int. J. High Performance Computing and Networking*, Vol. 9, Nos. 5/6, 2016, pp. 480–488.
- [39] Daemen J, Rijmen VTDR. AES–The Advanced Encryption Standard. In: *Information Security and Cryptography*. New York: Springer;2002.
- [40] Alilou, V.K.: Fingerprint matching: a simple approach. <http://www.mathworks.com/matlabcentral/fileexchange/44369-fingerprint-matching--a-simple-approach> (2016). Accessed 15 Mar 2016.
- [41] The Fingerprint Verification Competition. The Biometric System Laboratory, University of Bologna, Bologna, Italy. Accessed: Jan. 2016. [Online]. Available: <http://bias.csr.unibo.it/fvc2002/databases.asp>.
- [42] Barman, S., Samanta, D., Chattopadhyay, S., Approach to cryptographic key generation from fingerprint biometrics, *Int. J. Biometrics*, 2015, Vol. 7, No. 3, pp. 226–248.
- [43] Rashidi, B., Compact and efficient structure of 8-bit S–box for lightweight cryptography, *Integration, the VLSI Journal*, 2021, Vol. 76, pp. ۱۸۲–۱۷۲ .
- [44] Nagakrishnan, R. and Revathi, A., A Robust Speech Encryption System Based on DNA Addition and Chaotic Maps, in Proc. 18 th International Conference on Intelligent Systems Design and Applications, Vellore, India, 2018, pp. 1070–1080.
- [22] Pradeep, L.N., and Bhattacharjya, A., Random Key and Key Dependent S–box Generation for AES Cipher to Overcome Known Attacks, in Proc. International Symposium on Security in Computing and Communication, Springer, 2013, Mysore, India, pp. 63–69.
- [23] Dwivedi, R., Dey, S., Sharma, M.A., Goel , A., A fingerprint based crypto–biometric system for secure communication, *Journal of Ambient Intelligence and Humanized Computing*, 2019, Vol. 11, pp. 1495–1509.
- [24] Barman, S., Samanta, D., Chattopadhyay, S., Fingerprint–based crypto–biometric system for network security, *EURASIP Journal on Information Security*, 2015, Vol. 3, pp. 1–17.
- [25] Panchal, G., Samanta, D., A Novel Approach to Fingerprint Biometric–Based Cryptographic Key Generation and its Applications to Storage Security, *Computers and Electrical Engineering*, 2018, Vol. 69, pp. 461–47.
- [26] Barzut, S., Milosavljevic, M., Adamovic, S., Saracevic, M., Macek, N., Gnjatovic, M., A Novel Fingerprint Biometric Cryptosystem Based on Convolutional Neural Networks, *Mathematics*, 2021, Vol. 9, No. 7, pp. 1–12.
- [27] Li, S., Zhang, X., Qian, Z., Feng, G., Ren, Y., Key based Artificial Fingerprint Generation for Privacy Protection, *IEEE Transactions on Dependable and Secure Computing*, 2020, Vol. 17, Iss. 4, pp. 828– 840.
- [28] Suresh, K., Pal, R., Balasundaram, S.R., Fingerprint Based Cryptographic Key Generation, *International Conference on Intelligent Data Communication Technologies and Internet of Things*, 2020, India 38, pp. 704–713.
- [29] Jo, J.G., Seo, J.W., Lee, H.W., Biometric Digital Signature Key Generation and Cryptography Communication Based on Fingerprint, *FAW: International Workshop on Frontiers in Algorithmics*, 2007, Lanzhou, China, pp 38–49.
- [30] Wang, P., You, L., Hu, G., Hu, L., Jian, Z., Xing, C., Biometric Key Generation Based on Generated Intervals and Two–layer Error Correcting Technique, *Pattern Recognition*, 2020, Vol. 111, pp. 1–36.
- [31] Sarkar, A., Singh, B.K., Cryptographic Key Generation From Cancelable Fingerprint Templates, *Int’l Conf. on Recent Advances in Information Technology*, 2018, Dhanbad, India, pp. 1–6.
- [32] You, L., Zhang, G., Zhang, F., A Fingerprint and Threshold Scheme–Based Key Generation Method, *International Conference on Computer Sciences and Convergence Information Technology*, 2010, Seoul, Korea pp. 615– 619.
- [33] Penchalaiah, P., and Ramesh Reddy, K., Random multiple key streams for encryption with added CBC



بهرام رشیدی مدرک کارشناسی مهندسی برق خود را در سال ۱۳۸۸ از دانشگاه لرستان دریافت کرد. مدرک کارشناسی ارشد و دکتری خود را به ترتیب در سال های ۱۳۹۰ و ۱۳۹۵ از دانشگاه تبریز و دانشگاه صنعتی اصفهان اخذ کرد است. در حال حاضر استادیار گروه مهندسی برق دانشگاه آیت الله بروجردی (ره) است. علایق تحقیقاتی او شامل پیاده سازی سخت افزار برای محاسبات میدان های محدود، پردازش تصویر، سخت افزار رمزنگاری، اینترنت اشیا (IoT) ، رمزهای بلوکی و مدارهای VLSI برای سیستم های رمزنگاری منحنی بیضی است.